



مقاله پژوهشی

بهینه‌سازی تخمیر کنترل شده خمیرترش سبوس برقج و ارزیابی خصوصیات کیفی نان حجیم با استفاده از روش (RSM)

عباس عابدفر^۱، مرضیه حسینی‌نژاد^{۲*}، علیرضا صادقی^۳، فاطمه عباس‌زاده^۴

۱. دانشجوی دکتری، گروه زیست فناوری مواد غذایی، موسسه پژوهشی علوم و صنایع غذایی، مشهد
۲. دانشیار، گروه زیست فناوری مواد غذایی، موسسه پژوهشی علوم و صنایع غذایی، مشهد
۳. دانشیار، گروه زیست فناوری مواد غذایی، دانشکده علوم و صنایع غذایی، دانشگاه علوم کشاورزی و منابع طبیعی گرگان
۴. دانشجوی دکتری، گروه فناوری مواد غذایی، دانشکده علوم و صنایع غذایی، دانشگاه علوم کشاورزی و منابع طبیعی گرگان

(تاریخ دریافت: ۹۷/۹/۱۷، تاریخ آخرین بازنگری: ۹۸/۲/۲۴، تاریخ پذیرش: ۹۸/۴/۲۴)

چکیده

بهینه‌سازی کنترل تخمیر با عملکرد مناسب خمیرترش سبوس برقج در توسعه و ارزش تغذیه‌ای و عملگرایی نان حجیم بهمنظور ایجاد جایگزین‌های مناسب برای افزودنی‌های نانوایی، روز به روز در حال افزایش است. در این پژوهش پس از جداسازی آغازگر غالب موجود در خمیرترش سنتی حاصل از آرد سبوس برقج و تایید شناسایی آن با استفاده از PCR دارای پرایمر اختصاصی، از آغازگر مذکور جهت تولید خمیرترش و بررسی خصوصیات کیفی نان حجیم خمیرترشی به روش RSM تحت تاثیر زمان تخمیر (۸، ۱۶ و ۲۴ h)، دمای تخمیر (۳۲، ۲۶ و ۳۸ °C) و محتوی شکر (۰/۵، ۱/۵ و ۳/۵٪) استفاده گردید. نتایج حاصل از این پژوهش با ارزیابی تناسب مدل‌های برآشش شده نشان داد که با افزایش دما و زمان تخمیر به ازای محتوی شکر ثابت، اسیدیته قابل تیتر، پایش جمعیت میکروبی، حجم مخصوص، تخلخل، شاخص اختلاف کلی رنگ پوسته نان به ترتیب روند افزایشی و پیوستگی آن نیز به طور معنی‌داری روند کاهشی را نشان داد. همچنین، سفتی ارزیابی پذیرش کلی بافت نان نیز روند کاهشی داشت ($p < 0/05$). علاوه‌بر این در یک دمای تخمیر ثابت، تاثیر زمان تخمیر و محتوی شکر سبب بهبود خصوصیات کیفی نان حجیم در سطح ۵٪ گردید در حالی که اثر متقابل دمای تخمیر و مقدار شکر با زمان تخمیر ثابت در مدل درجه دوم برآشش شده، کاهش سفتی و بهبود سایر ویژگی‌های کیفی نان را به دنبال داشت ($p < 0/05$). براساس نتایج حاصل از این پژوهش برای هر متغیر وابسته، مدلی تعریف گردید و سپس بهمنظور ارزیابی صحت مدل‌های برآشش یافته، بهینه‌سازی تناسب شرایط دلخواهی و آزمون ضعف برآشش تعیین شدند.

واژه‌های کلیدی: تخمیر کنترل شده، لاکتوباسیلوس /اسیدوفیلوس، خمیرترش سبوس برقج، خصوصیات کیفی نان خمیرترشی، روش سطح پاسخ.



۱. مقدمه

مولکولی پایین را محدود کرده و سبب کاهش بلوری شدن نشاسته و کاهش بیاتی نان می‌گردد، همچنین با کاهش pH سبب بهبود حجم، حفظ رطوبت در شبکه خمیر، فعال نمودن آنزیم لیپوakkسیژنаз و همچنین انحلال بخشی از فیبرهای رژیمی می‌شود [۹، ۱۰]. تاثیر تخمیر کنترل شده خمیرترش سبوس برنج بر بهبود طعم محصول نهایی نیز بر پایه سه عامل اصلی تولید اسید، ایجاد پیش‌ماده‌های طعمی نظیر اسیدهای آمینه و تولید ترکیبات فرار، استوار است [۱۱]. باکتری‌های اسید لاکتیک از قابلیت تولید ترکیبات ضد میکروبی نظیر اسیدهای آلی، دی استیل، استون، پراکسید هیدروژن، پیپیدهای ضد قارچی و باکتریوسین‌ها نیز برخوردارند که در مقابل طیف وسیعی از عوامل بیماری‌زا و مولد فساد موثر می‌باشند [۱۲، ۱۳]. برخی از متابولیت‌های تولیدی توسط باکتری‌های اسید لاکتیک موجود در خمیرترش نظیر پلی‌ساقاریدهای خارج سلولی و آنزیم‌های پروتئولیتیک و آمیلوکولیتیک آن‌ها نیز در تاخیر بیاتی نان حجمی موثر هستند [۱۴، ۱۵] بهبود ویژگی‌های تغذیه‌ای نان و غنی سازی آن با ترکیبات مختلف نظیر سبوس برنج با هدف ارتقاء ارزش غذایی و کیفیت محصول با بهینه‌سازی شرایط فرایند، امکان‌پذیر می‌گردد از این رو تکنیک سطح پاسخ (RSM)، مجموعه‌ای از تکنیک‌های ریاضی و تجربی مفید برای بررسی تاثیر چند متغیر بر عملکرد و کیفیت محصول و یا فرایند تحت بررسی با هدف مدل‌سازی و بهینه‌یابی فرایندهای پیچیده است. این روش، نه تنها تعامل بین متغیرهای مستقل را ارزیابی می‌کند بلکه برای تعیین اثرات متقابل آن‌ها به‌منظور کاهش تعداد آزمون و هزینه‌های کلی نیز به‌طور کامل کارآمد می‌باشد [۱۶، ۱۷]. بر این اساس ارزیابی شرایط بهینه و کنترل خصوصیات کیفی محصول نهایی با هدف ارتقاء ارزش غذایی و قابلیت ماندگاری مورد توجه محققین فراوانی قرار گرفته است. هدف از انجام این پژوهش، بهینه‌سازی تخمیر کنترل شده با لاکتوپاسیلوس اسیدوفیلوس در خمیرترش سبوس برنج و ارزیابی خصوصیات کیفی نان حجمی با استفاده از روش RSM بود.

۲. مواد و روش‌ها

۱.۲ مواد خام

آرد نول مورد استفاده جهت تهیه نان حجمی و سبوس برنج برای آماده‌سازی خمیرترش سبوس برنج به ترتیب از کارخانه آرد

نان غذای اصلی آحاد جامعه بشری بوده و در اشكال گوناگون به عنوان یک کالای اساسی و استراتژیک در سبد غذایی مردم محسوب می‌شود، بنابراین بهبود خواص تکنولوژیکی و افزایش ارزش تغذیه‌ای آن از مهم‌ترین مسائل مورد توجه محققین بوده است [۱]. بررسی‌ها نشان می‌دهد ۳۰٪ گندم تولید شده در زنجیره گندم و ۱۶٪ نان کشور از طریق عواملی از قبیل عدم پخت صحیح نان، بی‌دقیقی و ناآگاهی کنشگران دخیل در فرایند تولید هدر می‌رود که با توجه به تنگناهای ارزی موجود، ارزش این ضایعات حائز اهمیت است [۲]. یکی از این ضایعات، سبوس بوده که با توجه به خواص سلامتی بخش سبوس، افزودن آن به جهت بالا بردن ارزش غذایی نان توسط بسیاری از محققان پیشنهاد شده است [۳]. فیبرهای محلول در آب موجود در سبوس با کلسترول و اسیدهای صفراء موجود در معده و روده پیوند یافته و مقدار جذب آن‌ها را در بدن کاهش می‌دهند. همچنین فوایدی همچون پیشگیری از بیماری‌های التهابی روده و سرطان روده بزرگ و کاهش خطر ابتلا به بیماری‌های قلبی از مصرف فیبر سبوس برنج گزارش شده است [۴]. تمایل به مصرف فراورده‌های نانوایی حاوی حداقل میزان نگهدارنده‌ها و بهبود دهنده‌های شیمیایی و به کارگیری از سبوس برنج و گندم روز به روز در حال افزایش می‌باشد. یکی از مناسب‌ترین جایگزین‌ها برای این ترکیبات نیز خمیرترش سبوس برنج دارای کشت‌های آغازگر اختصاصی است [۵] که سبب افزایش قابلیت ماندگاری و بهبود خصوصیات کیفی و حسّی محصول تولیدی از طریق قدرت اتصال به آب بالا، توانایی امولسیفایری عالی، قابلیت تشکیل کف و خصوصیات آنتی‌اکسیدانی آن سبب شده که این فراورده را برای کاربرد در صنعت نانوایی منحصر به فرد نماید [۶]. نتایج پژوهش‌های اخیر نشان می‌دهد که خمیرترش دارای کشت آغازگر اختصاصی ضمن افزایش کیفیت و زمان ماندگاری نان [۷]، در بهبود ارزش تغذیه‌ای این فراورده و ارتقاء قابلیت‌های سلامتی-بخش آن نیز موثر می‌باشد [۸]. تخمیر خمیرترش سبوس گندم بر پایه تخمیر لاکتیکی و الکلی است و به میزان زیادی تحت تاثیر فلور میکروبی آن و شرایط تخمیر کنترل شده با تولید آنزیم‌های پروتئاز و آمیلاز قرار می‌گیرد. خمیرترش سبوس برنج با ممانعت از فعلیت بیش از حد آنزیم آلفا آمیلاز آرد، میزان آبکافت نشاسته را کاهش می‌دهد که این امر، آزادسازی دکسترین‌های با وزن

با ۹۰ ml آب مقطر، مخلوط و یکنواخت گردید. سپس محلول مذکور با فنل فتالئین، مخلوط و توسط NaOH با نرمالیته ۱/۰ تا pH معادل ۸/۵ تیتر و اسیدیته بر حسب میلی لیتر NaOH مصرفی محاسبه گردید [۷].

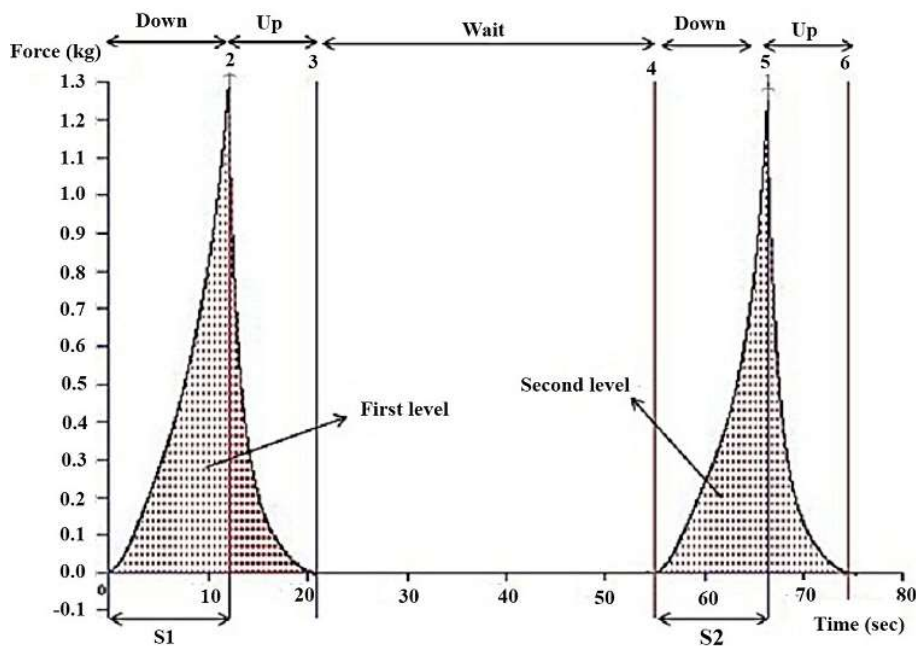
۳.۲. فراوری نان‌های حجیم خمیرترش حاصل از تخمیر مایه لاکتیکی انتخابی و نان شاهد

برای تهیه نان شاهد از مخلوط آرد نول، آب، ۱/۲٪ نمک، ۱/۵٪ شکر و ۱/۵٪ وزنی از مخمر خشک فعال ساکارومایسیس سرویزیه استفاده شد. میزان آب مورد نیاز معادل ۵/۵٪ و همچنین شرایط مخلوط کردن برای تهیه خمیر نان حجیم با توجه به درصد جذب آب به آرد تعیین گردید. مرحله نخست تخمیر خمیر نان شاهد در دمای ۳۰ °C به مدت ۳۰ min و تخمیر نهایی آن پس از تقسیم کردن به قطعات ۱۵۰ g در دمای ۴۵ °C به مدت ۹۰ min صورت پذیرفت. سپس نمونه‌های تولیدی در دمای ۲۲۰±۵ °C و به مدت ۱۵ min در فر پخت مستقیم با مدل Ariston ساخت کشور ایتالیا پخته شدند [۱۳]. برای تهیه نان حجیم خمیرترشی نیز نسبت ۲۵٪ وزنی از خمیرترش سبوس گندم تحت تیمار تخمیر کنترل شده به خمیر مشابه نمونه شاهد افروده و سپس تحت شرایط یکسان تخمیر و پخت با نمونه شاهد، فراوری گردید. مقدار خمیرترش مذکور قبل از تخمیر نهایی به خمیر نان افروده شد [۹].

۴.۲. ارزیابی خصوصیات بافت نان‌های حجیم خمیرترشی
برای ارزیابی تغییرات سفتی بافت نان‌های حجیم تولیدی به عنوان معیاری از بیاتی و بررسی خصوصیات ویسکوالاستیک آن از آزمون بافت‌سنگی استفاده شد (شکل ۱). بدین منظور آزمون پروفایل بافت نان (TPA) در نمونه‌های نان حجیم به وسیله TAXT Plus Stable Micro System دستگاه بافت‌سنجه مدل VS-8480 ساخت کشور انگلستان با پروب استوانه‌ای به قطر ۵ cm، سرعت پروب ۱ mm/s و نقطه شروع ۵۰ g انجام گرفت. نیروی لازم جهت ایجاد ۵٪ فشردگی در ضخامت اولیه با رسم منحنی نیرو-فاصله، به عنوان سفتی بافت مغز نان در حالت تازه‌خوری اندازه-گیری گردید. در طی آزمون نیرو در مقابل زمان ثبت گردید، بر این اساس مساحت پیک ثبت دوم به مساحت پیک ثبت اول به عنوان پیوستگی نان، از تقسیم فاصله طی شده در سطح دوم

زرین مشهد و کارخانه دستاوس بر اساس استاندارد ملی ایران با شماره ۱۰۳۱ تهیه گردید [۱۸]. خصوصیات شیمیایی آردهای مصرفی نظری ارزیابی درصد رطوبت، درصد استخراج، درصد گلوتن مرتبط، اسیدیته قابل تیتر و درصد خاکستر بر حسب وزن خشک بر اساس روش‌های مدون [۱۹] تعیین شد. مخمر خشک فوری ساکارومایسیس سرویزیه از شرکت خمیرمایه رضوی تهیه گردید. محیط‌های کشت مصرفی شامل ام. آر. اس براث، ام. آر. اس آگار، نوترینت براث، نوترینت آگار و پتیتو دکستروز آگار از شرکت‌های شارلو اسپانیا و مرک آلمان تامین شدند. مواد شیمیایی مورد استفاده در این پژوهش نیز از شرکت مرک آلمان تهیه گردید.

۲.۲. تخمیر کنترل شده خمیرترش سبوس برنج
آغازگر لاکتوباسیلوس اسیدوفیلوس مورد استفاده در این پژوهش و حدود ۹۹٪ همسان‌سازی در پایگاه NCBI از تک پرگنه کشت خطی جدایهای سوسپانسیون میکروبی خمیرترش سبوس برنج که با توالی‌بابی محصولات PCR دارای پرایمر اختصاصی تایید شناسایی گردید، استفاده شد [۲۰]. در ادامه برای تهیه خمیرترش سبوس برنج با ضریب عملکرد ۳۵۰ به همراه آغازگر اختصاصی لاکتوباسیلوس اسیدوفیلوس، باکتری مذکور در محیط کشت MRS Broth در دمای ۳۷ °C به مدت ۴ h ایجاد 10^8 CFU/g کشت داده شد. سپس با سانتریفوج یچجال دار زیست‌توده تولیدی در ۶۰۰۰ در شرکت هرمل با مدل Z36 HK ساخت کشور آلمان انتقال داده شد و در ۴ °C و به مدت ۱۵ min، سلول‌های تازه میکروبی از محیط کشت جدا گردید [۲۱]. خمیرترش سبوس برنج دارای کشت آغازگر اختصاصی به میزان ۱٪ به محیط خمیرترش اضافه شد و با ایجاد شرایط تخمیر کنترل شده در گرمخانه شیکردار مدل Vs-8480 ساخت شرکت فراز طب تجهیز، در دمای ۳۷ °C با دور همزن ۳۰۰ rpm تا رسیدن به pH ۴/۳۳ برابر با ارزیابی شرایط بهینه به روش RSM تحت تأثیر پارامترهای مستقل نظری زمان تخمیر (۸، ۱۶ و ۲۴ h)، دمای تخمیر (۲۶، ۳۲ و ۳۸ °C) و محتوی شکر (۱/۵، ۳ و ۴/۵٪) مورد بررسی قرار گرفت. جهت بررسی پایش جمعیت میکروبی در مقایسه با استاندارد مک فارلند و اسیدیته قابل تیتر خمیرترش (بر حسب اسید لاکتیک) در شرایط تخمیر کنترل شده، معادل ۱۰ g از خمیرترش مورد نظر



شکل (۱) تغییرات نیرو-زمان در آزمون TPA در نمونه نان حاوی تیمارهای خمیرترشی
Fig. 1 The force-time changes in the TPA test samples containing treated sourdough bread

روش جایگزینی دانه کلزا، بر اساس استاندارد A-A-20126E، تعیین و با نمونه شاهد مقایسه گردید. نمونه‌های مورد استفاده دارای وزن یکسان بوده و از مرکز هندسی نان تهیه شدند.

(S₂) به فاصله طی شده در سطح اول (S₁) مقدار الاستیسته و حالت ارتجاعی و در انتهای مقاومت در برابر جویدن از حاصل ضرب مجموع سفتی، پیوستگی و حالت ارتجاعی محاسبه می‌گردد [۲۲].

۶.۲. ارزیابی خصوصیات رنگی پوسته نان حجیم

خمیرترش

آنالیز رنگ پوسته نان در فاصله زمانی ۲ پس از پخت (تاže-خوری)، از طریق تعیین سه شاخص L^* , a^* و b^* صورت پذیرفت. جهت اندازه‌گیری این شاخص‌ها ابتدا برشی به ابعاد $4 \times 4 \text{ cm}^2$ استفاده شد. بدین منظور برشی به ابعاد $2 \times 2 \text{ cm}^2$ از مغز نان پوسته نان تهیه گردید و به وسیله اسکنر مدل HP Scanjet G3010 ساخت تصویر برداری شد، سپس تصاویر در اختیار نرم افزار J Image قرار گرفت. با فعال کردن فضای Lab در بخش Plugins، شاخص‌های فوق محاسبه می‌شود [۲۴، ۲۵]. در نهایت برایند اختلاف رنگی (Total Color Difference) نیز از معادله (۱) تعیین گردید، که در آن L^* , a^* و b^* ابعاد رنگ مربوط به نان حاوی تیمارهای خمیرترشی و L_0^* , a_0^* و b_0^* ابعاد رنگ مربوط به نان شاهد بود [۲۶].

$$TCD = \sqrt{(L_0^* - L^*)^2 + (a_0^* - a^*)^2 + (b_0^* - b^*)^2} \quad (1)$$

۵.۲. اندازه‌گیری حجم مخصوص و تخلخل نان حجیم خمیرترش

برای ارزیابی میزان تخلخل مغز نان حجیم تولیدی در فاصله زمانی ۲ پس از پخت (تاže-خوری)، از تکنیک پردازش تصویر استفاده شد. بدین منظور برشی به ابعاد $2 \times 2 \text{ cm}^2$ از مغز نان تهیه گردید و به وسیله اسکنر مدل HP Scanjet G3010 ساخت تصویر چین با وضوح ۴۰۰ پیکسل، تصویر برداری شد. سپس تصویر تهیه شده در اختیار نرم افزار J Image (نسخه ۱/۴۵) قرار گرفت. تصاویر موجود در این نرم افزار، مجموعه‌ای از نقاط تاریک و روشن است که با محاسبه نسبت نقاط روشن به تاریک به عنوان شاخصی از میزان تخلخل در نمونه‌ها برآورد می‌گردد [۹، ۲۳]. حجم مخصوص نان‌های تولیدی در فاصله زمانی ۲ پس از پخت، به طور جداگانه و در شرایط معین، درون بسته‌های استریل پلی‌اتیلنی درب دار و دمای گرماخانه‌گذاری 28°C به

سطح ارزیابی گردید. بر اساس آنالیز مذکور برای هر یک از پاسخ-های مورد ارزیابی نیز یک مدل دارای چند متغیر (معادله ۲) برای پیش‌بینی اثر متغیرها تعریف شد که در آن β_0 ضریب ثابت، β_1 ، β_2 ، β_3 ضرایب خطی، β_{33} , β_{22} , β_{11} اثرات مربعی و β_{13} , β_{23} اثرات متقابل می‌باشند [۲۷، ۹].

(۲)

$$Y = \beta_0 + \beta_1 X_1 + \beta_2 X_2 + \beta_3 X_3 + \beta_1 X_{12} + \beta_2 X_{22} + \beta_3 X_{32} + \beta_{12} X_1 X_2 + \beta_{13} X_1 X_3 + \beta_{23} X_2 X_3$$

تیمارهای اعمال شده در این پژوهش در جدول (۱) ارائه گردیده است.

۳. نتایج و بحث

۳.۱. خصوصیات فیزیکوشیمیایی، ارزیابی میزان اسیدیته قابل تیتر و جمعیت میکروبی (Cfu/g) خمیرترش

ارزیابی خصوصیات شیمیایی آرد و سبوس برنج مورد استفاده در این پژوهش براساس استاندارد AACC در جدول (۲) آمده است.

همچنین تغییرات اسیدیته قابل تیتر و پایش جمعیت فلور میکروبی خمیرترش سبوس برنج به عنوان تابعی از دما، زمان تخمیر و مقدار شکر در شکل (۲) نشان داده شده است. بر این اساس با افزایش زمان و دمای تخمیر در محدوده ۸ تا ۲۶ h، ۲۴ °C و افزایش غلظت شکر در محدوده ۱/۵ تا ۴/۵٪ با تلقیح لاکتوباسیلوس/سیدوفیلوس، اسیدیته قابل تیتر و پایش جمعیت میکروبی خمیرترش با روند مشخصی افزایش و pH آن نیز کاهش

۷.۲. ارزیابی پذیرش کلی نمونه نان حجیم خمیرترش

خصوصیات حسی نان‌های تولیدی در فاصله زمانی ۲ پس از پخت (تازه‌خواری)، از طریق آزمون چشایی ارزیابی شد. تیم ارزیابی حسی، شامل تعدادی ارزیابان حسی نیمه آموزش دیده در بازه سنی ۲۵ تا ۴۵ سال از مرد و زن، به طور کاملاً تصادفی به بررسی خصوصیات نان‌های تولیدی در جهت تعیین میزان پذیرش کلی، رنگ پوسته، قابلیت جویدن، سفتی بافت، طعم، تخلخل و خاصیت ارجاعی بر مبنای مقیاس ۱-۵ (۱) کمترین و ۵ بیشترین امتیاز) پرداختند و در نهایت بدون اعمال ضریب ارزشیابی برای هر صفت، پذیرش کلی کیفیت نان ارزیابی گردید [۲۶]. جهت بهینه‌سازی بهترین نمونه نان تنها ارزیابی پذیرش کلی در نمونه‌های نان مورد بررسی قرار گرفت.

۸-۲- آنالیز آماری نتایج

آنالیز آماری نتایج برای ارزیابی اسیدیته قابل تیتر و جمعیت میکروبی براساس طرح فاکتوریل کاملاً تصادفی با نرم افزار SAS نسخه ۹ انجام گردید و در ادامه برای سایر آزمون‌ها به روش سطح پاسخ بر اساس طرح مکعب مرکزی با ۳ تکرار در نقطه مرکزی با استفاده از نرم افزار Design Expert نسخه ۹ صورت گرفت. پاسخ‌های مورد بررسی (Y) شامل سفتی بافت نان، قابلیت جوندگی، حجم مخصوص، تخلخل، خصوصیات رنگی و پذیرش کلی نان حجیم خمیرترشی تولیدی تحت تاثیر سه متغیر مستقل دمای تخمیر (x_1)، زمان تخمیر (x_2) و محتوی شکر (x_3) در سه

جدول (۱) تیمارهای اعمال شده خمیرترش سبوس برنج

Table 1 Treated rice bran sourdough

تیمار	دماه تخمیر	زمان تخمیر	محتوی شکر	دماه تخمیر	زمان تخمیر	محتوی شکر	دماه تخمیر	زمان تخمیر	تیمار
Treatment	Fermentation temperature (°C)	Fermentation time (h)	Sugar content (%)	Treatment	Fermentation temperature (°C)	Sugar content (%)	Fermentation time (h)	Fermentation temperature (°C)	Treatment
1	26	24	4.5	10	32	4.5	24	4.5	4.5
2	32	24	1.5	11	38	3	24	1.5	1.5
3	32	8	3	12	32	3	16	32	3
4	26	16	1.5	13	32	1.5	8	26	1.5
5	26	8	1.5	14	38	3	16	26	1.5
6	26	16	3	15	32	4.5	8	26	3
7	32	16	3	16	38	3	16	32	3
8	38	24	1.5	17	26	4.5	8	38	1.5
						4.5	24	38	9

درجه دوم، برای پیشگویی رفتار پاسخها و اثرات متقابل پارامترهای متغیر، مدل مناسبی تعیین گردید. در مدل‌های گزینش شده نیز آزمون عدم برازش برای تمام صفات اندازه‌گیری شده، معنی‌دار نبود ($p > 0.05$) که در واقع، تفسیر مناسب روند تغییر داده‌ها توسط مدل‌های انتخابی را نشان می‌داد. مقادیر ضریب تبیین متناسب و قابل قبول در پاسخ‌های مورد استفاده در این پژوهش معیاری از صحت درجه تناسب مدل برازش یافته می‌باشد [۳۱].

تجزیه و تحلیل جدول ANOVA حاصل از تلقیح باکتری لاکتوباسیلوس/اسیدوفیلوس در خمیرترش سبوس برنج و متعاقباً تهیه نان حجیم خمیرترشی در پاسخ‌های مورد ارزیابی نشان داد که بهتری تأثیر متغیر زمان و دمای تخمیر در سطح ۵٪ برای اکثر پاسخ‌ها معنی‌دار بوده و به عنوان تیمار مستقل تأثیرگذار در بین سایر تیمارها تعیین گردید. لازم به ذکر است که از نظر آماری، مدلی مناسب است که آزمون ضعف برازش آن معنی‌دار نبوده و دارای بالاترین مقدار R^2 adjusted و R^2 predicted باشد.

۳.۰.۳ بررسی سفتی و پیوستگی بافت نان‌های حجیم
softness، Hardness، نشان دهنده نیروی اعمال شده برای گاز زدن نمونه است. فرایند سفت شدن بافت نان به طور عمده به دو علت می‌باشد؛ سفتی که ناشی از انتقال رطوبت از مغز به پوسته است و سفت شدن ذاتی مواد سلول که به کریستالیزاسیون مجدد نشاسته بر می‌گردد [۳۲]. نتایج حاصل از اندازه‌گیری سفتی بافت مغز نان با دستگاه بافت‌سنج در نان‌های خمیرترشی تولیدی حاصل از آرد سبوس برنج توسط تیمارهای متفاوت خمیرترش در حالت تازه‌خوری در شکل (۳) نشان داده شد. بر این اساس، تأثیر متغیر مستقل دمای تخمیر به تنها یک بیشترین تأثیر را بر خصوصیات سفتی بافت نان حجیم داشت که این عملکرد در

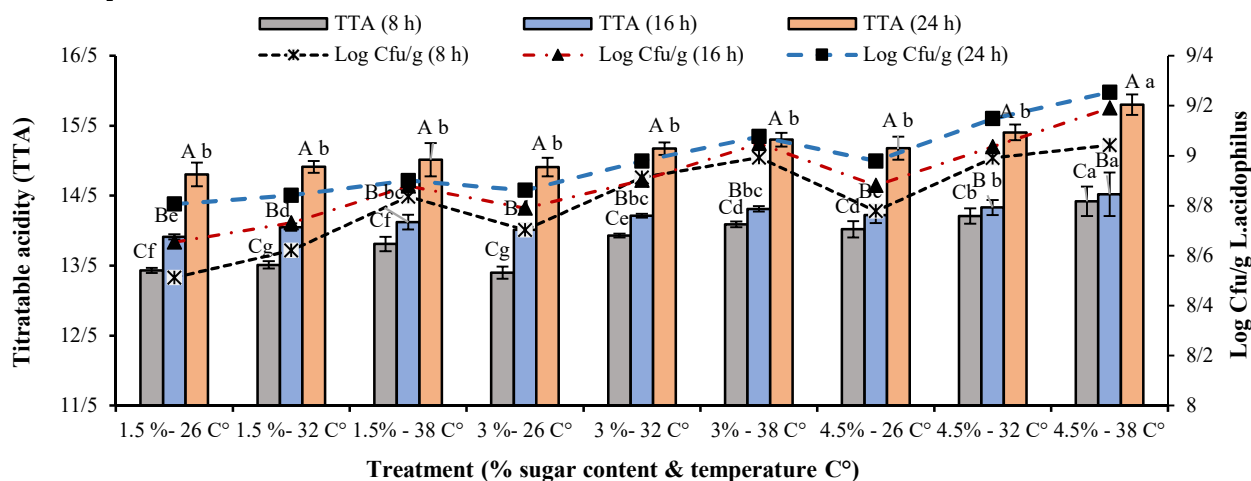
یافت. آنالیز واریانس تغییرات اسیدیته در سطح ۵٪ نیز نشان داد که سطوح مختلف زمان، دمای تخمیر و درصد شکر، تاثیر معنی‌داری ($p \leq 0.05$) بر میزان تغییرات اسیدیته قابل تیتر خمیرترش و پایش جمعیت میکروبی در هر گرم خمیرترش (CFU/g) دارند. بیشترین و کمترین مقدار اسیدیته قابل تیتر خمیرترش و لگاریتم CFU/g بهتری در نمونه‌های حاصل از ۲۴ h تخمیر، دمای 38°C و محتوی $4/5\%$ شکر و ۸ h تخمیر، دمای 26°C و محتوی ۱/۵٪ شکر در مقایسه با نمونه شاهده گردید. محصول عمده تخمیر فراورده‌های غنی از فیبرهای رژیمی توسط خمیرترش نیز اسید آلی است که بر روی اجزای نشاسته و پروتئین آرد تأثیر گذاشت و با کاهش pH سبب افزایش فعالیت آنزیم‌های آمیلاز و پروتئاز آرد و تغییر رفتار گلوتن شده و لذا در کاهش بیاتی نان تأثیر دارد [۲۸، ۲۹]. تحقیقات کاتینا [۷] و برانت و هامز [۳۰] مؤید نتایج حاصل از این تحقیق می‌باشد.

۳.۰.۴ ارزیابی تناسب مدل‌های برازش شده

نتایج حاصل از این پژوهش برای هر متغیر وابسته، مدلی تعریف گردید و سپس به منظور ارزیابی صحت مدل‌های برازش یافته، آزمون ضعف برازش و همچنین مقادیر ضریب تغییرات، ضریب تبیین R^2 (adj)، R^2 و P value تعیین شدند. آزمون F نیز جهت تایید واریانس به دست آمده از مدل رگرسیونی با ارزیابی معنی‌داری آن نسبت به واریانس باقی مانده و همچنین بررسی تعیین عدم برازش مدل (خطای مدل) مورد استفاده قرار گرفت. ارزش جدول تحلیل آماری در بخش آنالیز واریانس، متغیر ضعف برازش بود که نشان دهنده مناسب یا نامناسب بودن مدل مهیا شده برای هر پاسخ است. علاوه بر این، هرچه مقدار مطلق F بزرگ‌تر و مقدار P کوچک‌تر باشد نیز عملکرد مدل در میزان معنی‌داری پاسخ‌ها بیشتر خواهد بود [۲۷]. بر این اساس مدل

جدول (۲) نتایج حاصل از خواص فیزیکی و شیمیایی آرد سبوس برنج و آرد نول
Table 2 The results of physical and chemical properties of rice bran flour and null flour

نمونه Sample	چربی Fat (%)	روطوت Moisture (%)	پروتئین Protein (%)	گلوتن مرطوب Wet gluten (%)	اسیدیته Acidity	خاکستر (بر اساس وزن خشک) Ash (dry bases)
آرد نول Null flour	۱.۵۳±۰.۰۲	۱۴.۲۲±۰.۴۲	۸.۵۴±۰.۳۱	۲۴.۴±۰.۳	۲.۴۴±۰.۲	۰.۴۶±۰.۰۱
سوس برنج Rice bran	۲۲.۴۰±۰.۲۳	۹.۳۹±۰.۱۵	۱۴.۸۱±۰.۰۲	-	۴.۱۱±۰.۰۳	۱۰.۰۷±۰.۰۱



شکل (۲) سفتی بافت نان حجیم خمیرترش سبوس برج تحت تاثیر پارامترهای متغیر در نمودار سطح پاسخ

Fig. 2 Response surface plot of interactive effects of independent variables on sourdough pan bread hardness

نتایج حاصل از این پژوهش با نتایج گیانو و همکاران [۳۳] مطابقت داشت به طوری که، با مدل سازی فعالیت کشت‌های آغازگر اختصاصی و تغییرات بیوشیمیایی در حین تخمیر خمیرترش نشان دادند که به موازات افزایش زمان تخمیر خمیرترش و سوبسترانی قابل دسترس، اسیدیته قابل تیتر خمیرترش نیز افزایش یافته و سبب ایجاد تغییراتی در رفتار گلوتون گردید که یکی از دلایل اصلاح رئولوژی خمیر و کاهش سفتی بافتی در نان حاصل از خمیرترش در مقایسه با نمونه شاهد گردید. همچنین جذب آب بالای ترکیبات فیبری نظری سبوس گندم و برج از اتفاف آب جلوگیری کرده و از طرفی واکنش بین ترکیبات فیبری و مولکول‌های نشاسته فرایнд رتروگراداسیون را در بافت نان در طول دوره نگهداری نان به تاخیر می‌اندازد. نیروی لازم برای فشردن نان در نمونه‌های تهیه شده از خمیرترش در زمان‌های تخمیر کوتاه‌تر، به مراتب بیشتر است. احتمالاً در این بازه زمانی هنوز تخمیر آغازگر انتخابی، کامل نشده و لذا متابولیت‌های میکروبی اثر مشهودی بر سفتی بافت نان تولیدی نداشتند. همچنین بافت نان‌های حاصل از زمان‌های تخمیر طولانی‌تر شرایط را برای تولید متابولیت‌های میکروبی نظیر پلی-ساکاریدهای خارج سلولی و یا آنزیم‌هایی فراهم می‌آورد که باعث نرمی بافت نان می‌شوند. لاکاز و همکاران [۳۴] و آرندت و همکاران [۲۸] نیز نتایج مشابهی به دست آورده‌اند.

پیوستگی در واقع بیانگر مقاومت درونی ساختار ماده غذایی است یا به بیان دیگر پیوستگی به میزان تجزیه در دهان و جداسازی آسان در دست نسبت داده می‌شود [۳۵]. نتایج آنالیز

سطح ۵٪ معنی دار بود. تاثیر دمای تخمیر با افزایش محتوی شکر در کاهش میزان سفتی بافت نان به شکل خطی و در سطح ۵٪ معنی دار نبود (شکل ۳a). همچنین اثر متقابل افزایش درصد شکر خصوصاً در دمای‌های تخمیر بالاتر سبب کاهش در سفتی بافت نمونه نان تازه‌خواری گردید که این تغییرات در سطح ۵٪ عدم معنی داری را نشان داد (شکل ۳b). این در حالی است که اثر متقابل زمان تخمیر با افزایش مقداری شکر سبب کاهش سفتی بافت نان شد که این کاهش در سطح ۵٪ معنی دار نبود (شکل ۳c). براساس نتایج جدول تجزیه واریانس، تنها متغیر درجه دوم زمان تخمیر، تاثیر معنی داری را براساس مدل درجه دوم تایید نمود. در نهایت مدل چند متغیره درجه دوم معادله (۳) جهت پیش‌بینی اثر متغیرهای مستقل دمای تخمیر (x_1), زمان تخمیر (x_2), محتوی شکر (x_3) و همچنین اثر متقابل دمای تخمیر با زمان تخمیر (x_1x_2), اثر متقابل دمای تخمیر با درصد شکر (x_2x_3)، اثر متقابل زمان تخمیر با درصد شکر (x_{11}) و همچنین اثرات درجه دوم دمای تخمیر (x_{22}), زمان تخمیر (x_{33}) و درصد شکر (x_{33}) بر میزان سفتی بافت نان حجیم حاوی خمیرترش سبوس برج تلقیح شده با لاکتوباسیلوس/سیدوفیلوس با ضریب همبستگی $R^2 = ۰.۸۴$ و ضریب تغییرات $۱۸/۰۷$ به دست آمد که با ارزیابی ضعف برازش، تناسب مدل مذکور در معادله ۳ نیز تایید گردید.

$$\text{softness} = \text{softness of bread} \quad (3)$$

$$4.87 - 1.06 X_1 - 0.59 X_2 - 0.57 X_3 + 0.16 X_1X_2 - 0.26 X_1X_3 + 0.11 X_2X_3 + 1.14 X_1^2 + 2.54 X_2^2 - 1.08 X_3^2$$

۴.۳. بررسی میزان حجم مخصوص و تخلخل مغز نان حجیم

حجم مخصوص یکی از پارامترهای کیفی نان و عنوان شاخص بیاتی محسوب می‌شود. گازهای حاصل از تخمیر خمیرترش (براساس محتوی اسیدیته) در شبکه گلوتنی بافت نان گندم به دام می‌افتد که باعث افزایش حجم مخصوص نان می‌گردد [۱۱]. مکانیسم حجم مخصوص در نان تخمیرترشی به دلیل انسجام در شبکه گلوتنی، گازهای تشکیل شده در طول فرایند تخمیر در خمیر آزاد می‌شوند که همین آزاد شدن، حجم را تحت تأثیر قرار می‌دهد. عملکرد متغیر دمای تخمیر و درصد شکر به تنهایی بیشترین تاثیر را بر خصوصیات سفتی بافت نان حجیم داشت بهطوری که معنی داری آن در سطح ۵٪ نشان داده شد. تاثیر توان دما و زمان تخمیر در افزایش مقادیر حجم مخصوص نان به شکل خطی و در سطح ۵٪ معنی دار نبود (شکل a). همچنین اثر متقابل درصد شکر خصوصاً در دمای‌های تخمیر میانه (۳۲ °C) سبب افزایش در حجم مخصوص نمونه نان تازه‌خوری گردید که این تغییرات در سطح ۵٪ عدم معنی داری را نشان داد (شکل b). این در حالی است که اثر متقابل افزایش زمان تخمیر با افزایش مقادیر شکر سبب افزایش حجم مخصوص نان حجیم گردید که این کاهش در سطح ۵٪ معنی دار بود (شکل c). با ارزیابی ضعف برازش، تناسب مدل مذکور با ضریب همبستگی $R^2 = 0.85$ و ضریب تغییرات $6/86$ در معادله (۵) نیز تایید گردید.

$$\text{حجم مخصوص نان} = 3.79 + 0.23 X_1 + 0.074 X_2 + 0.19 X_3 - 0.008 X_1 X_2 - 0.021 X_1 X_3 + 0.021 X_2 X_3 - 0.33 X_{12} + 0.14 X_{22} - 0.20 X_{32} \quad (5)$$

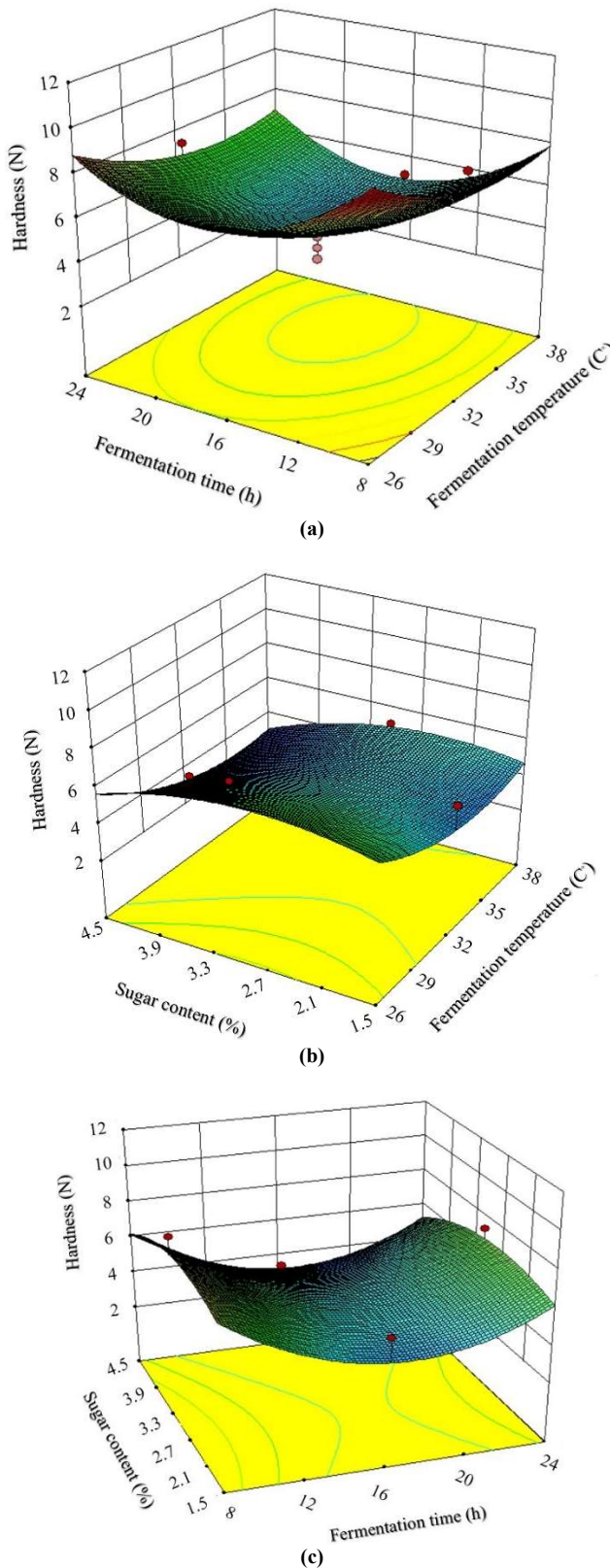
مطابق با پژوهش سليمانی‌فرد و همکاران [۳۸] دلیل افزایش حجم مخصوص نمونه‌های نان حاوی خمیرترش احتمالاً به دلیل افزایش پایداری در سطح مشترک مجموعه سلول‌های گازی در طی پخت است که توانایی نگهداری گاز را در آن‌ها افزایش داده است و همچنین قدرت بالای جذب آب و کاهش فعالیت آبی آزاد و در نهایت منجر به بهبود و افزایش حجم مخصوص نان می‌گردد، که با نتایج این پژوهش مطابقت دارد.

واریانس، برازش و همبستگی داده‌های بدست آمده با مدل مناسب نشان داد که اثر متقابل دمای تخمیر و زمان تخمیر عملکرد معنی‌داری در پیوستگی ساختار درونی نان خمیرترشی در حالت تازه‌خوری داشت (شکل ۴a)، به طوری که هر کدام از متغیرهای مستقل به تنها‌ی تاثیر معنی‌داری بر روی شاخص پیوستگی نداشتند. نهایتاً مدل دارای چند متغیره درجه دوم معادله (۴) جهت پیش‌بینی اثر متغیرهای مستقل دمای تخمیر (X_1 ، زمان تخمیر (X_2)، محتوی شکر (X_3) و همچنین اثر متقابل دمای تخمیر با زمان تخمیر (X_{1X_2})، اثر متقابل دمای تخمیر با درصد درصد شکر (X_{1X_3}) در شکل b ۴، اثر متقابل زمان تخمیر با درصد شکر (X_{2X_3}) شکل ۴c و همچنین اثرات درجه دوم دمای تخمیر (X_{11} ، زمان تخمیر (X_{22}) و درصد شکر (X_{33}) بر میزان پیوستگی بافت نان حجیم حاوی خمیرترش سبوس برنج تلقیح شده با لاکتوپاسیلوس/اسیدوفیلوس ضریب همبستگی $R^2 = 0.69$ و ضریب تغییرات $10/47$ به دست آمد که با ارزیابی ضعف برازش، تناسب مدل مذکور در معادله (۴) نیز تایید گردید.

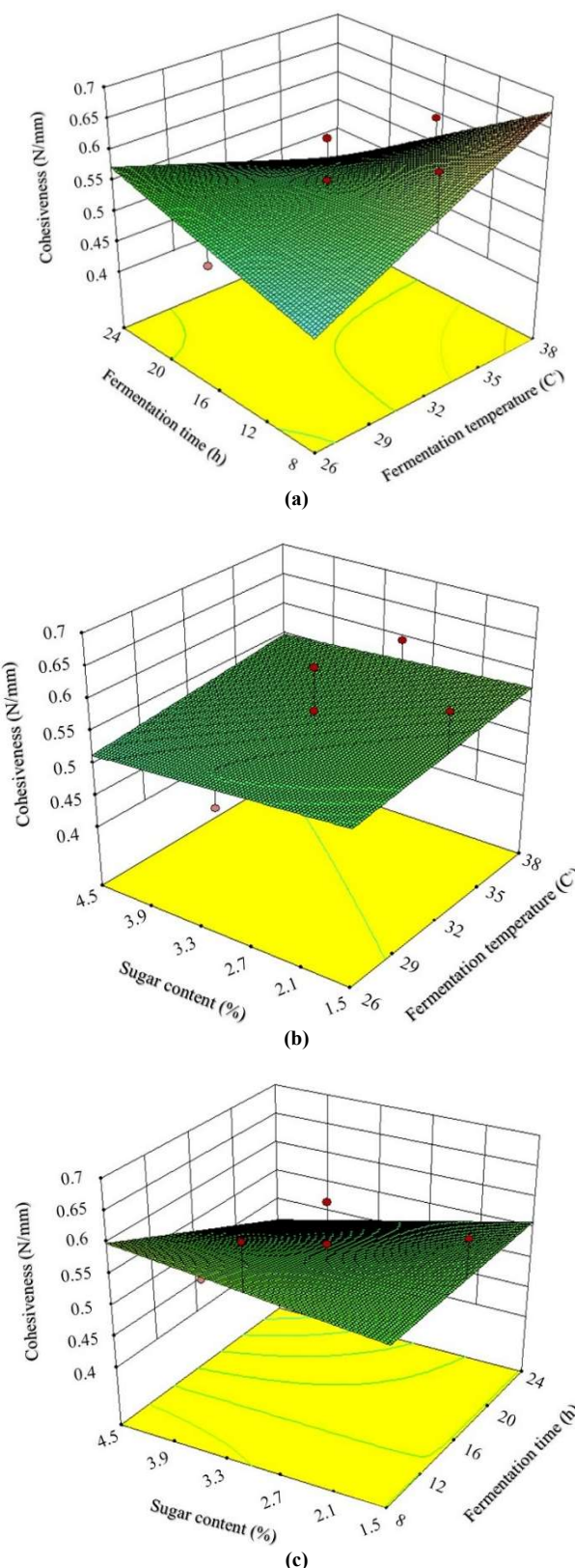
$$= \text{پیوستگی نان} \quad (4)$$

$$0.57 + 0.017 X_1 - 0.034 X_2 - 0.014 X_3 - 0.079 X_1 X_2 + 0.006 X_1 X_3 - 0.034 X_2 X_3 - 0.017 X_{12} + 0.014 X_{22} - 0.030 X_{32}$$

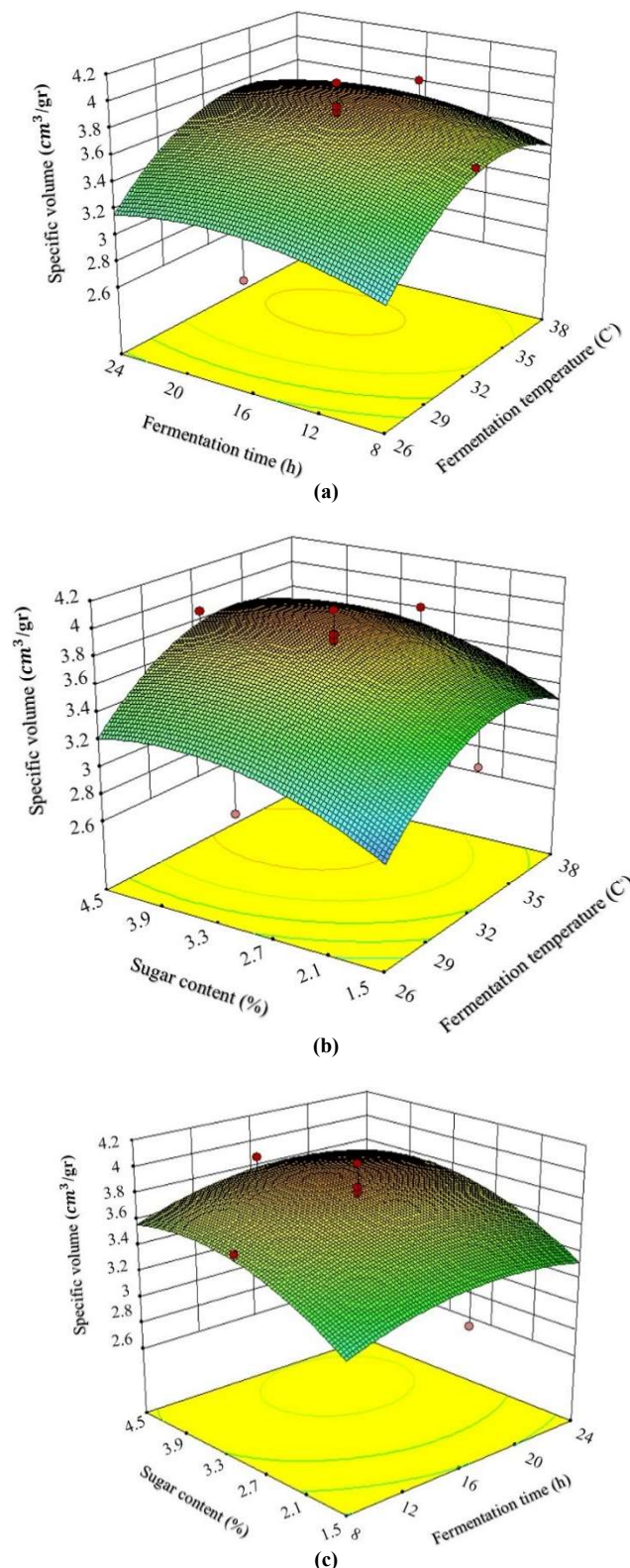
آمیلوز و به دنبال آن آمیلوپکتین از گرانول‌های نشاسته خارج شده و در هنگام پخت یا در طی سرد شدن نان‌ها، آمیلوز روتروگراد شده و در نتیجه موجب افزایش پیوستگی در مغز نان می‌گردد، همچنین در طول مدت ماندگاری تغییرات ناچیزی در کاهش پیوستگی به دلیل شکستگی ساختار درونی و عدم حفظ آب آزاد در ساختار سلول‌های آن نیز به وجود خواهد آمد [۳۶]. به طور کلی بافت نان که فشرده می‌گردد، حباب‌های تولیدشده در ساختار درونی نان مقاومت کمی داشته و نمی‌توانند گاز تولیدی را در شبکه گلوتنی به دام بیندازند، لذا دی-اکسید کربن در نان به طور مناسب توزیع نمی‌گردد. زمانی که اسیدیته قابل تیتر خمیرترش تا حدی افزایش یابد ساختمان گلوتن خمیر، تقویت و متعاقباً کشش‌پذیری آن بیشتر می‌گردد که این امر نگهداری گاز را افزایش داده و باعث پیوستگی در نان می‌گردد [۳۷].



شکل (۳) پیوستگی بافت نان حجیم خمیرترش سبوس برنج تحت تاثیر تغییر پارامترهای مختلف در نمودار سطح پاسخ
Fig. 3 Response surface plot of interactive effects of independent variables on sourdough pan bread cohesiveness



شکل (۴) حجم مخصوص نان حجیم خمیرترشی سبوس برنج تحت تاثیر پارامترهای متغیر در نمودار سطح پاسخ
Fig. 4 Response surface plot of interactive effects of independent variables on sourdough pan bread specific volume.



شکل (۵) تخلخل نان حجیم خمیرترش سبوس برنج تحت تاثیر پارامترهای متغیر در نمودار سطح پاسخ
Fig. 5 The response surface plot of interactive effects of independent variables on sourdough pan bread porosity.

پوسته نان حجیم سیوس برنج گردید (شکل ۷a). همچنین افزایش درصد شکر خصوصاً در دمای‌های تخمیر بالاتر سبب افزایش ناچیزی در افزایش برایند اختلاف رنگ پوسته نمونه نان تازه‌خواری گردید که تغییرات معنی‌داری را در سطح ۵٪ نشان نداد (شکل ۷b). افزایش زمان تخمیر با افزایش مقادیر شکر سبب افزایش برایند اختلاف رنگ پوسته نان بافت خمیرترشی سیوس برنج گردید که این افزایش در سطح ۵٪، عدم معنی‌داری را نشان داد (شکل ۷c)، با بررسی اثرات درجه دوم پارامترهای متغیر میزان تخلخل بافت نان حجیم خمیرترشی با ضریب همبستگی $R^2 = 0.58$ و ضریب تغییرات ۲/۰۲ به دست آمد که با ارزیابی ضعف برازش، تناسب مدل مذکور نیز در معادله (۷) تایید گردید.

$$(TCD) = \frac{31.64 + 2.14 X_1 + 3.19 X_2 - 0.31 X_3 - 0.87 X_1 X_2 + 0.68 X_1 X_3 - 1.06 X_2 X_3 - 0.92 X_{12} - 1.06 X_{22} - 0.25 X_{32}}{(7)}$$

علت را شاید بتوان به دلیل این که رنگ پوسته نان در اثر واکنش مایلارد تشکیل می‌شود، در اثر ترکیب مواد ازته با مواد احیا کننده، در لایه سطحی عمل قهقهه‌ای شدن اتفاق می‌افتد. مقداری از رنگ پوسته نان مربوط به کارامیلیزه شدن قندها است، بر این اساس شدت رنگ مربوط به مقدار مواد موثر و شرایطی که این مواد تحت آن وارد عمل می‌شوند، نظیر دما و سرعت از دست رفتن آب سطح پوسته نان و شدت رنگ تاثیر زیادی دارد [۴۰]. سطح پوسته نان در خمیرهای بیش از حد تخمیر شده ساختاری غیریکنواخت و ناهموار داشته که به دلیل تخمیر قندها و حضور اگزولپی ساکارید و واکنش‌های آنزیمی در حضور پروتئاز، سطح نان و رنگ پوسته مطلوب‌تر خواهد شد [۴۱].

۶.۳ ارزیابی پذیرش کلی نان‌های حجیم

روندهایی پذیرش نهایی خصوصیات حسی نان‌های حجیم تازه‌خواری حاصل از خمیرترش سیوس برنج به عنوان تابعی از دما، زمان تخمیر و درصد شکر در شرایط تخمیر کنترل شده در شکل (۸) نشان داده شد. براساس نتایج حاصل از تجزیه و تحلیل آماری، سطوح مختلف دما، زمان تخمیر و درصد شکر تاثیر معنی‌داری ($p \leq 0.05$) بر میزان پذیرش نهایی نان‌های حجیم تازه‌خواری داشتند. با توجه به نمودار عنکبوتی ترسیم شده از مقایسه پذیرش کلی تیمارهای خمیرترش سیوس برنج تلقیح شده به

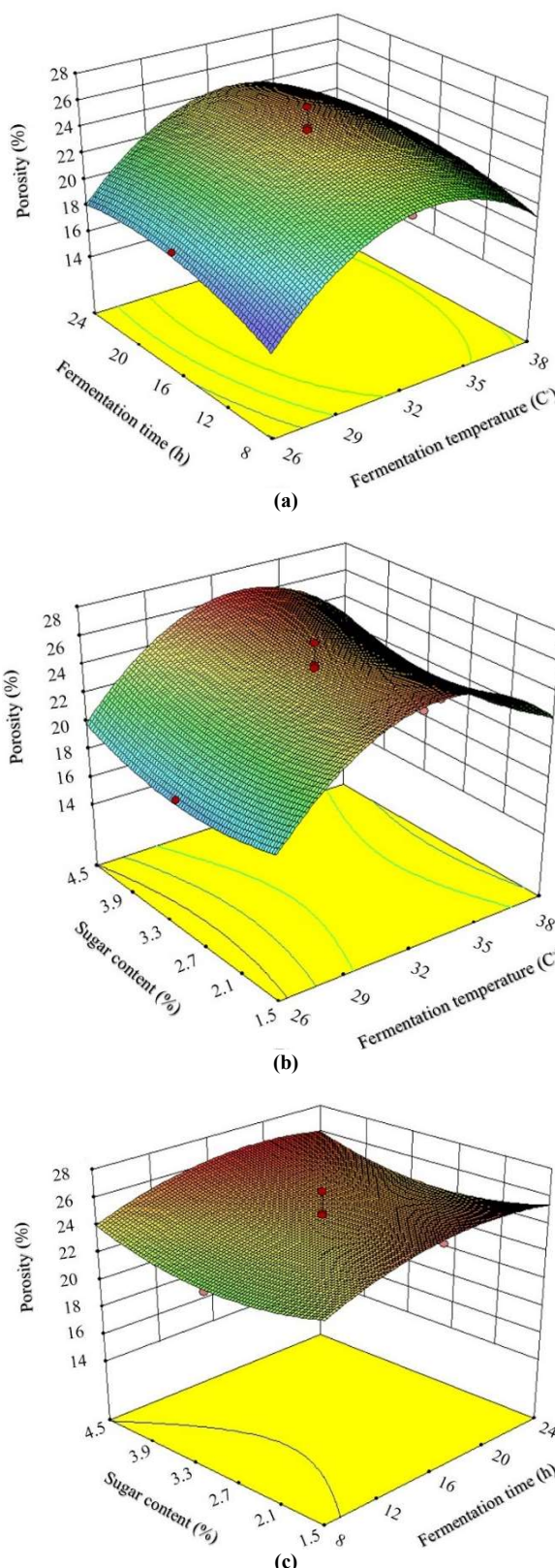
تخلخل مغز نان یکی از خصوصیات کیفی اصلی است که با ایجاد سلسه‌ای از سلول‌های گاز در مقیاس ماکرو و میکرو در ساختار نان قابل بررسی است (شکل ۶). تاثیر متغیرهای مستقل نظری دمای تخمیر و زمان تخمیر در افزایش مقادیر تخلخل نان در سطح ۵٪ معنی‌دار بود. بر این اساس اثر متقابل دمای تخمیر با افزایش زمان تخمیر سبب تغییرات محسوسی در افزایش تخلخل نان حجیم گردید (شکل ۶a). همچنین افزایش درصد شکر خصوصاً در دمای‌های تخمیر بالاتر سبب افزایش ناچیزی در تخلخل بافت نمونه نان تازه‌خواری گردید که تغییرات عدم معنی‌داری را در سطح ۵٪ نشان داد (شکل ۶b). افزایش زمان تخمیر با افزایش مقادیر شکر سبب افزایش مقدار ناچیزی در تخلخل بافت نان حجیم خمیرترشی با افزایش تخلخل بافت نان خمیرترشی گردید که این افزایش در سطح ۵٪، معنی‌دار نبود (شکل ۶c). با بررسی اثرات درجه دوم پارامترهای متغیر میزان تخلخل بافت نان حجیم خمیرترشی با ضریب همبستگی $R^2 = 0.95$ و ضریب تغییرات ۴/۵۶ به دست آمد که با ارزیابی ضعف برازش، تناسب مدل مذکور نیز در معادله (۶) تایید گردید. زمانی که اسیدیته قابل تیتر خمیرترش افزایش می‌یابد ساختار گلوتون خمیر نان ضعیفتر و باعث کشش‌پذیری بیشتر آن می‌شود که این امر نگهداری گاز را در مغز نان کاهش داده و در نتیجه باعث سفت شدن و شکننده شدن بافت نان و در نهایت سبب افزایش میزان تخلخل بافت حجیم بعد از پخت می‌گردد. که نتایج حاصل با پژوهش عابدفر و همکاران [۹] و شهرزاد و همکاران [۳۹] مطابقت داشت.

$$(6) = \text{تخلخل نان}$$

$$\frac{24.67 + 1.47 X_1 + 0.96 X_2 + 0.29 X_3 - 0.25 X_1 X_2 - 0.018 X_1 X_3 + 0.025 X_2 X_3 - 4.92 X_{12} - 1.27 X_{22} + 1.38 X_{32}}{(8)}$$

۵.۳ ارزیابی پذیرش کلی نان‌های حجیم

مقایسه میانگین آزمون رنگ‌سنجدی نان‌های حجیم خمیرترش سیوس برنج تولیدی در سطح ۵٪ نشان داد که در محدوده شرایط اعمال شده در این پژوهش دمای تخمیر و زمان تخمیر تاثیر معنی‌داری ($p \leq 0.05$) و درصد شکر عدم معنی‌داری را در حالت مستقل بر میزان شاخص‌های رنگ (L*, a*, b*) و برایند اختلاف رنگ پوسته نان در طی $h = 2$ نگهداری داشتند. بر این اساس اثر متقابل دمای تخمیر با افزایش زمان تخمیر سبب تغییرات محسوسی و عدم معنی‌داری در افزایش برایند اختلاف رنگ



شکل (۶) اختلاف برایند رنگ پوسته نان حمیم خمیرترش سبوس برنج تحت تاثیر پارامترهای متغیر در نمودار سطح پاسخ
Fig. 6 The response surface plot of interactive effects of independent variables on sourdough pan bread TCD colour.

تابعی از زمان تخمیر و مقدار شکر در شرایط تخمیر کنترل شده براساس تجزیه و تحلیل آماری نشان داد که سطوح مختلف زمان تخمیر و درصد شکر تاثیر معنی‌داری ($p \leq 0.05$) بر میزان پذیرش نهایی نان‌های تازه‌خوری داشتند.

خمیر نان‌های حجیم تولیدی، بیشترین و کمترین امتیاز پذیرش نهایی نان‌های تازه‌خوری بهتری با تیمارهای دمای 32°C ، زمان 16h و 3% سوبسترای قابل (Run 9) دسترسی لاكتوباسیلوس /سیدوفیلوس و دمای 26°C ، زمان 24 h و $1/5\%$ محتوی شکر (Run 6) مرتبط بود.

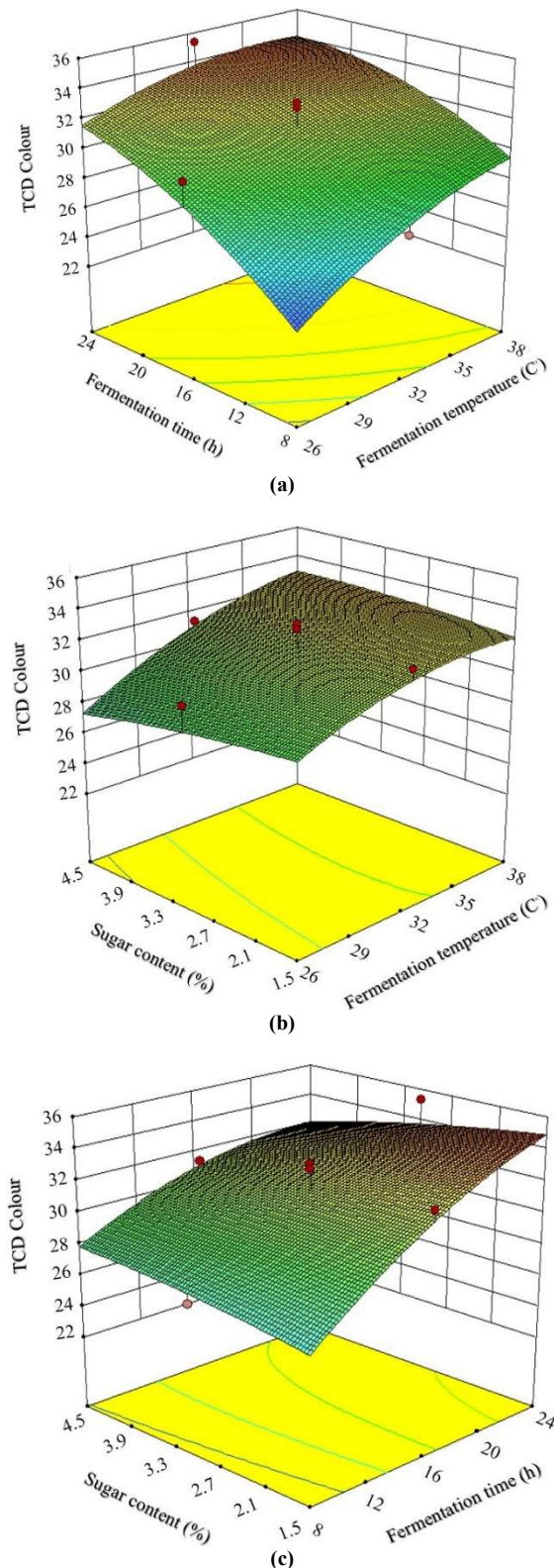
۷.۳. بهینه‌سازی پارامترهای پاسخ در فرایند
پس از اعمال تیمارهای کنترل شده تخمیر خمیرترش سبوس برنج در قالب RSM و ارزیابی خصوصیات کیفی نان حجیم خمیرترش تولیدی در حالت تازه خوری و با توجه نتایج کمی و مدل‌های متناسب برای هر کدام از شاخص‌های آن براساس مقادیر مطلوبیت دلخواهی در حدود $82/0\%$ بهینه‌سازی شرایط انجام گردید و نتایج ارزیابی در شکل (۹) نشان داده شد. همچنین، بازه‌های پارامترهای مذکور و مقادیر مطلوب پاسخ برای بهینه‌سازی عددی نشان می‌دهد که شرایط پیشنهادی نرم افزار برای بهینه‌سازی شرایط فرایندی تخمیری متناسب است. در جدول (۳) همچنین مقادیر بهینه پیش‌بینی شده مدل برای ارزیابی بهترین نمونه نان حجیم خمیرترشی نشان داده شده است. شرایط بهینه‌سازی بر روی پارامترهای متغیر مورد استفاده در این پژوهش، با تحقیقات عابدفر و همکاران [۹] بر روی خمیرترش سبوس گندم مطابقت داشت.

کنترل تشکیل ترکیبات مولد طعم در تخمیر خمیرترش با انتخاب کشت آغازگر اختصاصی یا با تنظیم شرایط تخمیر، نظری زمان و دمای تخمیر، درصد شکر و نیز تنظیم درجه استخراج آرد ممکن می‌شود. آرد حاوی مقادیر خاکستر (سبوس) بیشتر، امکان تولید ترکیبات فرار را در حین تخمیر میکروبی مخلوط مخمری و باکتری اسید لاكتیک افزایش می‌دهد. دلیل احتمالی این امر حضور مقادیر متفاوت ترکیبات پیش‌ساز طعم موجود در سبوس آرد و نیز تغییرات متابولیکی است که در حین تخمیر باکتری‌های اسید لاكتیک در این شرایط ایجاد می‌شد. بر اساس نتایج تحقیقات باربر و همکاران [۳۵]، تغییرات بیوشیمیایی در حین تخمیر خمیرترش مانند تولید اسید، پروتئولیز، تولید متابولیت‌های خارج سلولی و تغییر در ترکیبات سوبسترا بر رئولوژی خمیر و نان حجیم موثر بوده و در نهایت بر روی طعم نان و پذیرش کلی محصول نهایی نیز تاثیر می‌گذارد. نتایج تحقیقات تیل و همکاران [۴۲] بر روی پذیرش نهایی نان‌های تازه‌خوری به عنوان

جدول (۳) مقادیر بهینه حاصل از مدل‌های تجربی.

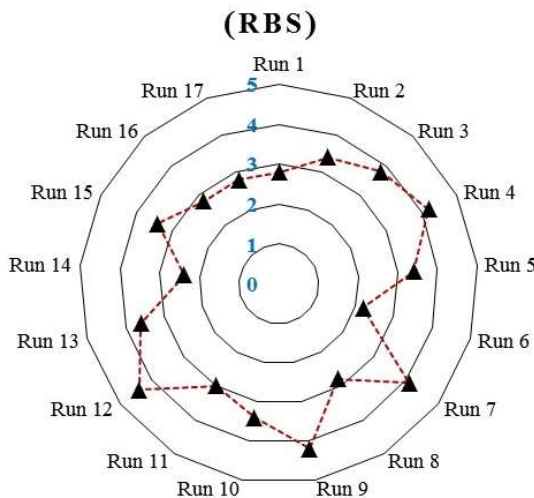
Table3 Optimal amounts of empirical models.

فاکتور Factor	تیمار Treatment	سطوح بهینه Optimization level	پایین‌ترین سطح Low level	بالاترین سطح High level	کد Coding
A	دما Temperature ($^{\circ}\text{C}$)	33.09	26	38	Actual
B	زمان Time (h)	16.64	8	24	Actual
C	مقدار شکر Sugar content (%)	4.45	1.5	4.5	Actual

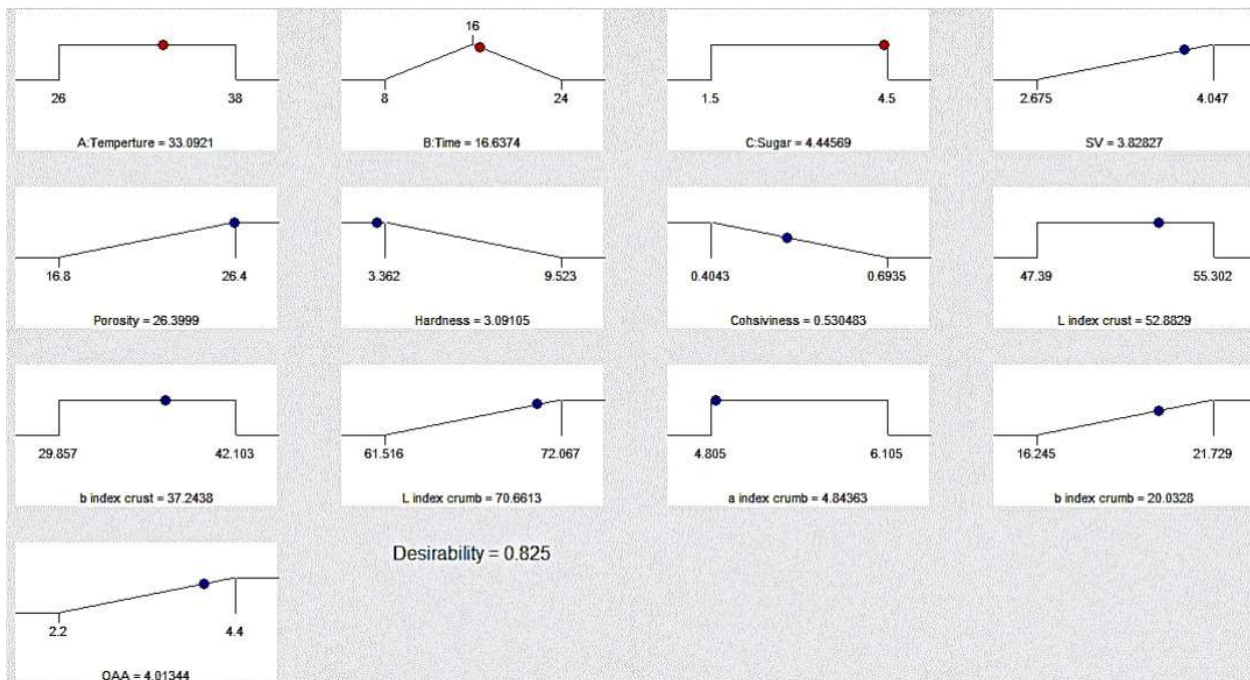


شکل (۷) مقایسه پذیرش کلی نان‌های تولیدی تحت تأثیر دما، زمان تخمیر و درصد شکر در حالت تازه‌خواری

Fig. 7 The comparison of the overall acceptance (OA) under the influence of fermentation temperature, fermentation time and sugar content after 2 h baking.



شکل (۸) مقادیر مطلوبیت تیمارهای کنترل شده تخمیر خمیرترش سبوس برنج با بررسی خصوصیات کیفی نان
Fig. 8 The desirability values of the controlled fermentation of rice bran sourdough by qualitative study of bread



شکل (۹) مقادیر مطلوبیت تیمارهای کنترل شده تخمیر خمیرترش سبوس برنج با بررسی خصوصیات کیفی نان
Fig. 9 The desirability values of the controlled fermentation of rice bran sourdough by qualitative study of bread

۴. نتیجه‌گیری

بهبود خواص حسّی و بافتی نان، سبب بهبود ارزش تغذیه‌ای، پیشگیری از بیماری‌های التهابی روده و سرطان روده بزرگ و تامین ریزمغذی‌های مفید بدن می‌گردد. استفاده از خمیر ترش می‌تواند با اثر بر ویژگی‌های بافتی، عطر و طعم، ماندگاری و افزایش زیست دسترسی مواد معدنی نقش موثری در بهبود خصوصیات نان داردند. در حقیقت خواص منحصر به فرد سبوس

رویکرد جدید صنعت غذا در راستای تولید فراورده‌های تخمیری از سویه‌های بومی کشور و توجه به محصولات فراسودمند و فراورده‌های غنی از ترکیبات رژیمی و سرشار از املاح معدنی نظیر خمیرترش سبوس برنج روز به روز در حال گسترش می‌باشد. استفاده از ضایعات دور ریز برنج نظیر سبوس برنج، به شکل خمیرترش در فرمول نان حجمی خمیرترشی ضمن

فراوری صنعتی و نیمه صنعتی نان نیمه‌حجیم و حجیم خمیرترشی و تعویق بیاتی آن استفاده نمود.

تقدیر و تشکر

بدینوسیله از حمایت مالی ستاد توسعه زیست فناوری ریاست جمهوری در انجام این تحقیق کمال تشکر و قدردانی را داریم.

برنج به خصوص در حفظ رطوبت و حضور متابولیت‌های مفیدی همچون اسیدها، ترکیبات ضد میکروبی در طول شرایط فرایند تخمیر بوده که لذا با کنترل شرایط تخمیر خمیرترش نظری محنتی شکر به عنوان یک سوبسترانی مهم و همچنین زمان و دمای تخمیر کشت آغازگر به نحو کاملاً موثری می‌توان در افزایش پذیرش کلی نان حجیم خمیرترشی موثر نمود. بر این اساس از شرایط بهینه به دست آمده در این پژوهش می‌توان برای

منابع

- [۱] پایان، ر. (۱۳۸۵). مقدمه‌ای به تکنولوژی فراورده‌های غلات. چاپ اول، انتشارات آییث، ص ۴۲۰.
- [۲] Malakootian, M., Dowlatshahi, S.H. and Malakootian, M. (2005). The quality of the manufactured bread and hygienic conditions of bakeries. *Iranian J. Env health Sci Eng.* 2(2), 72-78.
- [۳] Saunders, R.M. (1990). The properties of rice bran as a foodstuff. *Cereal Foods World.*, 35, 632-636.
- [۴] Roberts, S.B., Heyman, M.B. (2000). Dietary composition and obesity: do we need to look beyond dietary fat?. *The J. Nutr.*, 130, 267S-267S.
- [۵] Schnurer, J., Magnusson, J. (2005). Antifungal lactic acid bacteria as biopreservatives. *Trends Food Sci. Tech.*, 16, 70-78.
- [۶] Spicher G. (1983). Baked goods, InG. Reed (ed.), Food and feed production with microorganisms. Biotechnology.Verlag Chemie, Weinheim, Germany, 5(2): 1-80.
- [۷] Katina K. (2005). Sourdough a tool for the improved flavour, texture and shelf life of wheat bread. VTT Technical Research Centre of Finland, *VTT Publication*, 569, 1-96.
- [۸] Clarke, C.I., Arendt, E.K. (2005). A review of the application of sourdough technology to wheat breads. *Adv. Food Nutr. Res.*, 49, 137-161.
- [۹] عبدالفر، ع؛ حسینی نژاد، م؛ صادقی، ع؛ رئیسی، م؛ فیضی، ج. (۱۳۹۷). ارزیابی تاثیر آغازگر لاکتوباسیلوس پلانتاروم جدا شده در تخمیر کنترل شده خمیرترش سبوس گدم بر خصوصیات کیفی نان حجیم خمیرترشی به روش سطح پاسخ. فصلنامه میکروبیولوژی کاربردی در صنایع غذایی، جلد ۴، شماره ۱، ص ۵۶-۷۴.
- [10] Lioger, D., Leenhardt, F., Demigne, C., Remesy, C. (2007). Sourdough fermentation of wheat fractions rich in fibres before their use in processed food. *J. Sci. Food Agricul.*, 87, 1368-1373.
- [11] Clarke, C.I., Schober, T.J., Arendt, E.K. (2002).

- [34] Lacaze, G., Wick, M., Cappelle, S. (2007). Emerging fermentation technologies: Development of novel sourdoughs. *Food Microbiol.*, 24, 155-160.
- [35] Miñarro, B., Albanell, E., Aguilar, N., Guamis, B., Capellas, M. (2012). Effect of legume flours on baking characteristics of gluten-free bread. *J. Cereal Sci.*, 56, 476-481.
- [36] Gambuś, H., Gibiński, M., Pastuszka, D., Mickowska, B., Ziobro, R., & Witkowicz, R. (2011). The application of residual oats flour in bread production in order to improve its quality and biological value of protein. *Acta Sci. Pol. Technol.*, 10(3), 317-325.
- [37] Barber, B., Ortola, C., Barber, S., Fernandez, F. (1992). Storage of packaged white bread. III. Effect of sourdough and addition of acids on bread characteristics. *Z Lebensm Unters Forsch*, 194, 442-449.
- [38] Soleimanifard, M., Alami, M., & Najafian, G. (2015). Production of Kefiran in Kefir Grains and Its Effects on the Rheological Properties Low Protein Wheat Dough and Quality of France Bulky Bread. *Adv. Crop Sci. Technol.*, 3(4), 1-7.
- [39] Shehzad, A., Chiron, H., Della Valle, G., Kansou, K., Ndiaye, A., Reguerre, A.L. (2010). Porosity and stability of bread dough during proofing determined by video image analysis for different compositions and mixing conditions. *Food Res. Int.*, 43, 1999–2005.
- [40] De Conto, L.C., Oliveira, R.S.P., Martin, L.G.P., Chang, Y.K., Steel, C.J. (2012). Effects of the addition of microencapsulated omega-3 and rosemary extract on the technological and sensory quality of white pan bread. *LWT-Food Sci. Technol.*, 45, 103-109.
- [41] Scanlon, M. G., & Zghal, M. C. (2001). Bread properties and crumb structure. *Food Res. Int.*, 34(10), 841-864.
- [42] Thiele, C., Gänzle, M.G., Vogel, R.F. (2002). Contribution of sourdough lactobacilli, yeast, and cereal enzymes to the generation of amino acids in dough relevant for bread flavor. *Cereal Chem.*, 79, 45-51.
- Pediococcus pentosaceus* isolated from wheat bran sourdough. *LWT-Lebensm Wiss Technol.*, 96, 686-693.
- [21] Dal Bello, F., Clarke, C.I., Ryan, L.A.M., Ulmer, H., Schober, T.J., Ström, K., Sjögren, J., Van Sinderen, D., Schnurer, J., Arendt, E.K. (2007). Improvement of the quality and shelf life of wheat bread by fermentation with the antifungal strain *Lactobacillus Plantarum* FST 1.7. *J. Cereal Sci.*, 45, 309-318.
- [22] Steffe J. (1996). *Rheological Methods in Food Process Engineering*. Freeman Press, New York.
- [23] Haralick, R.M., Shanmugam, K., Dinstein, I. (1973). Textural features for image classification. *IEEE TASAE*, 45, 1995-2005.
- [24] Sun, D.W., Zheng, C., Zheng, L. (2006). Recent developments and applications of image features for food quality evaluation and inspection. *J. Food Sci. Technol.*, 17, 642-655.
- [۲۵] عابدفر، ع؛ حسینی نژاد، م؛ صادقی، ع. (۱۳۹۵). عملکرد استارترا لاكتوباسیلوس پلانتاروم جدا شده از تخمیر کنترل شده خمیرترش سنتی بر ویژگی های فیزیکوشیمیایی، بیاتی و خصوصیات پوسته نان نیمه حجیم. *فصلنامه میکروبیولوژی کاربردی در صنایع غذایی*، جلد ۲، شماره ۱، ص ۲۴-۱۵.
- [26] Rajabzade N. (1992). Evaluation of Iran industrial bread. Cereal research center, Iran. [In Persian].
- [27] Myers, R.H., Montgomery, D. C. (2002). Process and product optimization using designed experiments. In: Myers RH, Montgomery DC, Anderson-Cook CM, editors. *Response Surface Methodology*. 2nd ed. NewYork, Wiley Pub Inc, PP 51-83.
- [28] Arendt, E.K., Ryan, L.A.M., Dal Bello, F. (2007). Impact of sourdough on the texture of bread. *Food Microbiol.*, 24, 165-174.
- [29] Katina, K., Poutanen, K., Autio, K. (2004). Influence and interactions of processing conditions and starter culture on formation of acids, volatile compounds and amino acids in wheat sourdoughs. *Cereal Chem.*, 81, 598–610.
- [30] Brandt, M.J., Hammes, W.P. (2001). Einfluß von Fructosanen auf die Sauerteig fermentation. *Getreide, Mehl und Brot*, 55, 341-345.
- [31] Gharibzahedi, S.M.T., Razavi, S.H., Mousavi, S.M. (2012). Developing an emulsion model system containing canthaxanthin biosynthesized by *Dietzia natronolimnaea* HS-1. *Int. J. Biol. Macromol.*, 51, 618-626.
- [32] Maleki, G., Milani, J., Amiri, Z. (2012). Effect of different hydrocolloids on staling of barbari bread. *Adv Food Sci.*, 34, 36-42.
- [33] Giannou, V., Kessoglou, V. & Tzia, C. (2003). Quality and safety characteristics of bread made from frozen dough. *Trends Food Sci. Technol.*, 14(3), 99-108.

**Research Article****Optimization of controlled fermentation in rice bran sourdough and evaluation of quality characteristics of pan bread by using Response Surface Method**

Abbas Abedfar¹, Marzieh Hosseininezhad^{2*}, Alireza Sadeghi³, Fatemeh Abbaszadeh⁴

1. PhD Student, Department of Food Biotechnology, Research Institute of Food Science and Technology (RIFST), Mashhad, Iran.
2. Association professor, Department of Food Biotechnology, Research Institute of Food Science and Technology (RIFST), Mashhad, Iran.
3. Association professor, Department of Food Science and Technology, Gorgan University of Agricultural Sciences and Natural Resources, Gorgan, Iran.
4. PhD Student, Department of Food Science and Technology, Gorgan University of Agricultural Sciences and Natural Resources, Gorgan, Iran

Abstract

Optimization of fermentation control with potential application of rice bran sourdough in novel fermentation technologies is increasing every day to come up to suitable alternatives for additives in bakery. In this research after isolating the dominant starter of the traditional rice bran sourdough and its identification using PCR and specific primer, it was used to make a traditional sourdough and evaluating the sourdough pan bread qualities by RSM method, under the impression of fermentation time (8, 16 and 24 h), fermentation temperature (26, 32 and 38 °C) and sugar content (1.5, 3 and 4.5 %). In this research, results of evaluating the proportion fitted models showed that by increasing the temperature and fermentation time in a constant sugar content, the titratable acidity (TTA), microbial population dynamics, specific volume, porosity, the total color difference (TCD) and cohesiveness were significantly increased and decreased respectively. However, there were a trend decreasing in the hardness and over acceptability of bread texture ($p<0.05$). Furthermore, at a constant fermentation temperature, the effect of fermentation time and sugar content improved the qualitative characteristics of pan bread. It was also shown that interaction between fermentation temperature and sugar content with a constant fermentation time in a fitted quadratic model, reduced the hardness and improved other quality features of pan bread ($p>0.05$). The result of this research a model was defined for any dependent variable. Also for evaluating the accuracy of the fitted models, desirability and lack of fit test were determined.

Keywords: Controlled fermentation, *Lactobacillus acidophilus*, Rice bran sourdough, Sourdough bread qualities, Response surface method.

* Corresponding author: m.hosseininezhad@rifst.ac.ir